

Übungen zur Vorlesung
Mathematische Aspekte der Neuronenmodellierung und Simulation
http://conan.iwr.uni-heidelberg.de/teaching/numsimneuro_ss2012

Dr. S. Lang, D. Popović

Abgabe: 06. Juni 2012 in der Übung

Übung 9 Stationäre und instationäre Diffusion in 1D und 2D (10 Punkte)

Eine nicht nur in den Neurowissenschaften sehr wichtige Gleichung ist die (stationäre oder instationäre) Diffusions-Gleichung, die Sie in der Vorlesung zum Beispiel beim extrazellulären Potential kennengelernt haben. Die stationäre Diffusions-Gleichung spielt zum Beispiel in der Wärmeleitung oder allgemeinen Elektrostatik eine große Rolle. Im Allgemeinen existieren keine analytischen Lösungen. Daher werden wir in dieser Übung zwei Diffusions-Probleme numerisch mit Octave lösen, in dieser Aufgabe zunächst in 1D.

Die stationäre Diffusions-Gleichung lautet für eine unbekannte Größe $u(x)$ auf einem Gebiet Ω in 1D, 2D oder 3D:

$$\begin{aligned} -\nabla g_a(x) \nabla u(x) &= f(x) && \text{auf } \Omega, \\ -g_a(x) \nabla u(x) &= h_N(x) && \text{auf } \partial\Omega_N, \\ u &= h_D(x) && \text{auf } \partial\Omega_D. \end{aligned}$$

Hierbei ist g_a ein ortsabhängiger Diffusionskoeffizient. Ein Teil $\partial\Omega_N$ des Randes des Gebiets trägt Neumann-Randbedingungen h_N , der Teil $\partial\Omega_D$ hingegen Dirichlet-Randbedingungen h_D . Für Neumann-Randbedingungen wird der Fluß von u über den Rand vorgegeben (u kann sich auf diesem Rand beliebig einstellen), während bei Dirichlet-Randbedingungen der Wert von u direkt vorgegeben wird, und u damit auf dem Rand keine Unbekannte mehr darstellt. Meist sind Ω_D und Ω_N disjunkt und es gilt $\partial\Omega = \partial\Omega_D \cup \partial\Omega_N$. In vielen Fällen ist der Diffusionskoeffizient g_a konstant.

Teilaufgabe (a)

Wir betrachten im ersten Teil der Aufgabe die eindimensionale, stationäre Diffusion mit reinen Dirichlet-Randbedingungen (d.h. $\partial\Omega_N = \emptyset$) auf dem Gebiet $\Omega = (0, l)$. Diese Gleichung wird auch Poisson-Gleichung genannt:

$$\begin{aligned} -\partial_{xx}u(x) &= f(x) && \text{auf } \Omega = (0, l), \\ u &= 0 && \text{für } \partial x = 0, \\ u &= 1 && \text{für } \partial x = l. \end{aligned} \tag{0.1}$$

Anschaulich bedeutet diese Gleichung, daß eine (zweimal stetig differenzierbare) Funktion u in Ω gesucht ist, deren zweite Ableitung durch eine gegebene Quell- oder Senken-Funktion $f(x)$ in Ω vorgegeben ist, und die am Rand die Dirichlet-Randbedingungen erfüllt.

Um diese Gleichung numerisch zu lösen, unterteilen wir das Gebiet Ω in N äquidistante Teilstücke, siehe Abbildung 0.1. Es gibt $N - 1$ innere Knoten und somit mit den zwei Randknoten insgesamt $N + 1$ Stützstellen für u . Die Gitterknoten seien mit x_i , $i = 0 \dots N + 1$, bezeichnet. Soll Gleichung (0.1) numerisch gelöst werden, sind an den Gitterpunkten x_i Approximationen u_i des exakten, in der Regel aber unbekanntes Funktionswerts $u(x_i)$ gesucht. Dazu wird die zweite Ableitung ∂_{xx} an einem

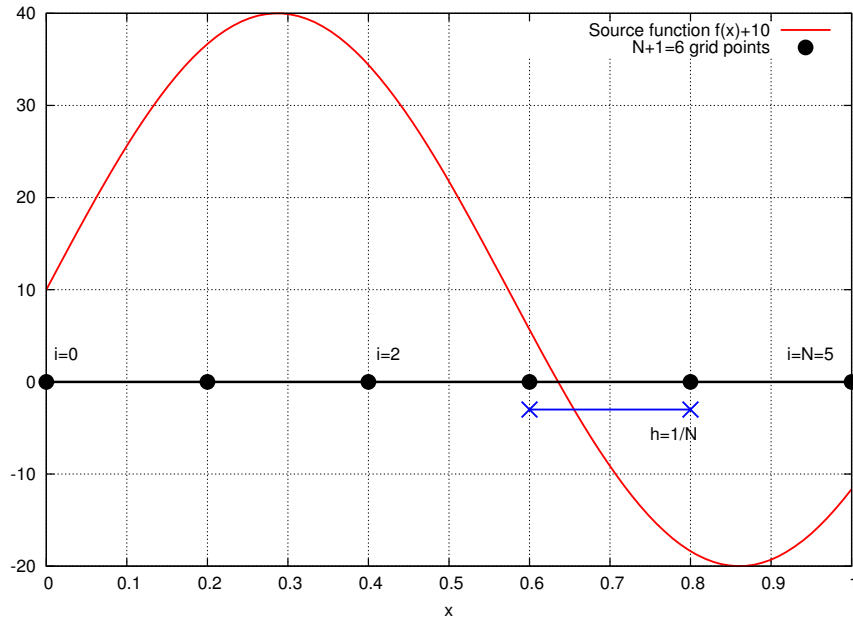


Abbildung 0.1: Gitter für die numerische Lösung der Poisson-Gleichung in 1D.

inneren Gitterpunkten x_i wie folgt über den links- (∂^-) und rechtsseitigen (∂^+) Differenzenquotienten definiert:

$$\begin{aligned}\partial^- u_i &:= \frac{1}{h} (u_i - u_{i-1}), \\ \partial^+ u_i &:= \frac{1}{h} (u_{i+1} - u_i), \\ \partial_{xx} u_i &= \partial^+ (\partial^- u_i) = \frac{1}{h^2} (u_{i+1} - 2u_i + u_{i-1}),\end{aligned}$$

mit der Gitterweite $h = x_{i+1} - x_i = x_i - x_{i-1}$. Diese Approximation der zweiten Ableitung läuft auf ein diskretes Gleichungssystem an inneren Gitterknoten hinaus, das die Approximationen u_i an den inneren Gitterpunkten x_i , $i = 1 \dots N - 1$, eindeutig bestimmt:

$$-\frac{1}{h^2} \begin{pmatrix} -2 & 1 & & & & & & & & & \\ 1 & -2 & 1 & & & & & & & & \\ & & \ddots & \ddots & \ddots & & & & & & \\ & & & \ddots & \ddots & \ddots & & & & & \\ & & & & \ddots & \ddots & \ddots & & & & \\ & & & & & 1 & -2 & 1 & & & \\ & & & & & & \ddots & \ddots & \ddots & & \\ & & & & & & & 1 & -2 & 1 & \\ & & & & & & & & 1 & -2 & \\ & & & & & & & & & 1 & -2 \end{pmatrix}_{(N-1) \times (N-1)} \cdot \begin{pmatrix} u_1 \\ \vdots \\ \vdots \\ \vdots \\ \vdots \\ \vdots \\ \vdots \\ \vdots \\ \vdots \\ \vdots \\ u_{N-1} \end{pmatrix} = \begin{pmatrix} f_1 \\ \vdots \\ \vdots \\ \vdots \\ \vdots \\ \vdots \\ \vdots \\ \vdots \\ \vdots \\ \vdots \\ f_{N-1} + \frac{1}{h^2} \end{pmatrix}. \quad (0.2)$$

Auf der rechten Seite der Gleichung stehen die Funktionsauswertungen $f_i = f(x_i)$ an den inneren Gitterpunkten. Man beachte, daß die letzte Gleichung, die zum letzten inneren Punkt x_{N-1} neben der rechten Intervallgrenze $x_N = l$ korrespondiert, einen anderen Term auf der rechten Seite hat. Dieser kommt von der Dirichlet-Randbedingungen am rechten Terminal (überlegen Sie sich, wieso). Am linken Randpunkt gilt $u = 0$, und der zusätzliche Beitrag tritt nicht auf. In Kurz-Schreibweise kann man den Vektor der Unbekannten an den inneren Gitterpunkten $\vec{u}_h = \{u_1, \dots, u_N\}^T$ und in gleicher Weise den Vektor \vec{f}_h der Funktionswerte an den Gitterpunkten definieren und erhält

$$A \cdot \vec{u}_h = \vec{f}_h, \quad (0.3)$$

wobei A die obige dünnbesetzte Matrix ist.

Aufgabe

Es sei nun die Quellfunktion $f(x) = 30 \sin(\sqrt{30}x)$ gegeben. Für diesen Fall existiert eine analytische Lösung der Gleichung (0.1), die man leicht durch Nachrechnen verifizieren kann:

$$u(x) = \sin(\sqrt{30}x) - x \cdot (\sin(\sqrt{30}) - 1).$$

Wir werden zusätzlich das Gleichungssystem (0.2) numerisch lösen (das liefert die durch die u_i bzw. \vec{u}_h definierte lineare Approximation der Funktion u), und können an Hand der analytischen Lösung u die Güte der numerischen Approximation u_h quantifizieren.

Aufgaben

1. Implementieren Sie mit Octave das numerische Gleichungs-System (0.2) mit der gegebenen Quellfunktion $f(x)$. Exportieren Sie einen Plot der Lösung u über x .
2. Testen Sie das Verhalten des maximalen Fehlers an den vorhandenen Gitterpunkten x_i ,

$$e(x) := \max_i |u(x_i) - u_h(x_i)|,$$

in Abhängigkeit der Gitterweite $h = 2^{-j}$ für $j = 3, \dots, 14$. Erstellen Sie einen doppelt-logarithmischen Plot des Fehlers e über der Gitterweite h . Es sollte sich eine Gerade einstellen, die Steigung ist die Konsistenz-Ordnung des Verfahrens.

3. *Freiwilliger Zusatz:* Ändern Sie das Vorzeichen von f und setzen Sie den rechten Dirichlet-Randwert bei $x = l$ auf -1 . Wie ändert sich die Lösung u_h ?

Hinweise

- Zum Lösen des diskreten Gleichungssystems (0.2) in Octave können Sie den \backslash -Operator verwenden ($\mathbf{u} = \mathbf{A} \backslash \mathbf{f}$).
- Die System-Matrix A ist dünnbesetzt. Es bietet sich daher an, geeignete Datenstrukturen (z.B. Sparse Matrices) zu verwenden. Der benötigte Befehl zum Konstruieren von Sparse Matrices lautet `spdiags`. Hinweise hierzu finden Sie z.B. im GNU Octave Handbuch, Kapitel 22.4 oder durch die Built-in Hilfe mit `help spdiags`.

Teilaufgabe (b)

Im zweiten Teil der Aufgabe betrachten wir eine instationäre Diffusion in 1D ohne Quelle ($f \equiv 0$) und mit Dirichlet-Randbedingungen:

$$\begin{aligned} \partial_t u(x, t) - \partial_x^2 u(x, t) &= 0 && \text{auf } \Omega = (0, l), \\ u(0, t) &= 0 && \text{(linke Dirichlet-Randbedingung),} \\ u(l, t) &= 0 && \text{(rechte Dirichlet-Randbedingung),} \\ u(x, 0) &= \sin(3\pi x) && \text{(Anfangsbedingung).} \end{aligned} \tag{0.4}$$

Bei dieser Gleichung handelt es sich um eine (parabolische) partielle Differentialgleichung auf dem Raum-Zeit-Gebiet $\Omega \times [0, T]$. Sie wird auch die Wärmeleitungsgleichung genannt und ist der Prototyp parabolischer Differentialgleichungen. Wie in Teilaufgabe (a) existiert auch hier eine analytische Lösung,

$$u(x, t) = \exp(-9\pi^2 t) \cdot \sin(3\pi x).$$

Wir werden diese Gleichung numerisch mit Octave lösen. Da die Quelle f verschwindet, ist dies zum Glück einfach möglich. Angenommen, das Gitter sei wie im stationären Fall zerlegt (Abbildung 0.1), und der Diffusions-Anteil ∂_x^2 ist wie in Teilaufgabe (a) durch die Matrix A aus (0.3) diskretisiert. Dann ist an den inneren Gitterpunkten x_i folgendes Gleichungssystem zu lösen:

$$\partial_t \vec{u}_h(t) - A \vec{u}_h(t) = 0,$$

wobei $\vec{u}_h(t)$ der Vektor der nun zeitabhängigen Approximationen an den inneren Gitterknoten ist. Man kann nun, wie wir es von den gewöhnlichen Differentialgleichungen kennen, die Zeit-Ableitung an einem Zeitpunkt t_n durch einen Differenzenquotienten approximieren und ein Forward Euler-Zeitschrittverfahren anwenden. Dies liefert mit der Zeitschrittweite $\kappa = t_n - t_{n-1}$ folgende Vorschrift für die gesuchten \vec{u}_h^n zu einem festen Zeitpunkt t_n :

$$\vec{u}_h^n - \vec{u}_h^{n-1} = \kappa \cdot A \vec{u}_h^{n-1} \iff \vec{u}_h^n = (1 + \kappa \cdot A) \vec{u}_h^{n-1}. \quad (0.5)$$

Achtung: n ist hier kein Exponent, sondern der Zeitschritt-Index.

Aufgaben

1. Implementieren Sie mit Octave das numerische Gleichungs-System (0.5), Sie können dazu die Matrix aus Teilaufgabe (a) verwenden. Exportieren Sie einen Plot der Lösung für die Parameter Simulations-Dauer $T = 0.1$, $\kappa = 1e - 4$ und $N = 19$. Zeichnen Sie zum Vergleich auch die exakte Lösung ein.
2. Die Zahl $\beta = \kappa/h^2$ bestimmt wesentlich die Stabilität des numerischen Verfahrens (0.5). Um dies zu untersuchen, führen Sie Simulationen mit den Parametern $(N, \kappa) = (29, 1e - 4)$, $(29, 2e - 4)$, $(29, 8e - 4)$ und $(29, 1e - 3)$ aus, berechnen Sie β und exportieren Sie jeweils einen Plot der numerischen sowie analytischen Lösung zum Zeitpunkt $T = 0.1$. Wie verhält sich die numerische Lösung qualitativ?
3. *Freiwilliger Zusatz:* Die Rechnung ist offenbar für $\beta \approx 0.5$ stabil. Falls Sie $N = 254$ setzen, wie muss dann κ gewählt werden (berücksichtigen Sie, daß T durch κ teilbar sein sollte)? Testen Sie Ihre Vorhersage praktisch!

Hinweis

1. In dem gegebenen sehr einfachen Fall kann die Vorschrift (0.5) auch gänzlich ohne Matrizen umgesetzt werden: Man iteriert zu jedem Zeitpunkt t_n über alle inneren Gitterpunkte x_i und berechnet den unbekanntem Wert u_i^n durch Bilden von

$$u_i^n = u_i^{n-1} + \frac{1}{h^2} \cdot (u_{i-1}^{n-1} - 2u_i^{n-1} + u_{i+1}^{n-1}).$$

Auf der rechten Seite stehen nur bekannte Werte des vorherigen Zeitpunkts t_{n-1} .